

報 文
화학공학 제14권 제4호
HWAHAK KONGHAK
J. of the KOREAN INST. CHEM. ENGRS.
Vol. 14, No. 4, August 1976

管型反應器內의 Static Mixer의 效果

박 태 석 · 김 호 기

韓國科學院

(접수 1976. 1. 29)

The Effect of Static Mixers in Tubular Reactors

Tae Suk Park and Hoagy Kim

Korea Advanced Institute of Science, Seoul 131, Korea

(Received January 29, 1976)

要 約

管型反應器에 LPD mixer 와 Kenics mixer 를 삽입했을 때 滯留時間分布, 壓力下降, 轉化率 等에 미치는 영향을 非可逆 2次反應에 대해 조사하였다. 가성소오다를 사용한 tracer 實驗으로부터 連續式攪拌槽反應 모델로 simulation 할 수 있었다. 속이 빈 투브에 대해서는 轉化率이 PFR로부터 벗어나는 정도가 같은 滯留時間에 대해 반응기 직경이 증가함에 따라 증가한다. 반면 Static mixer를 삽입했을 때에는 전화율이 PFR로부터 벗어나는 정도가 反應器 直徑에 관계없이 7%로 일정했다. LPD mixer를 삽입했을 때는 마찰계수가 빈 투브의 그것보다 20대지 25배 정도 크게 나타났다.

Abstract

The effect of low pressure drop (LPD) mixer and Kenics mixer inserted in a tubular reactor on the mean residence time distribution, pressure drop, and conversion for an irreversible, second-order reaction were investigated. From the results of the tracer experiment, it was found that the reactor could be simulated with *n*-Continuous Stirred Tank Reactors in series model. For empty tube, the deviations in conversion from a plug flow reactor (PFR) increase with the increase in the reactor diameter for the same mean residence time, whereas, with static mixers inserted in the tube the

discrepancy of the conversion from a PFR was found to be 7% regardless the magnitude of the reactor diameter. When a LPD mixer was inserted, the friction factor of the empty tube increased by a factor of 20 to 25.

序　論

管型反應器의 效率은 軸方向의 混合 및 半徑方向의 混合 程度에 따라서 크게 左右된다. 管型反應器에 있어서 軸方向의 混合이 全然 없고 半徑方向의 混合은 매우 좋아서 半徑方向의 濃度의 均配가 없을 경우 plug flow 狀態를 얻을 수 있다.

그러나 粘度가 큰 反應物을 使用한다든지 反應器의 直徑이 클 경우 等, plug flow의 條件을 滿足시키지 못할 경우에는 static mixer를 反應器에 插入시켜 亂流의 效果를 높여주는 것이 좋다.

Hovorka 와 Kendall⁸⁾ 은 plug flow에 가까운 反應器를 設計하기 위하여 管型反應器의 流體가 흐르는 方向에 대하여 垂直으로 baffle을 裝置하여 亂流를 일으켰다.

그 결과 baffle을 장치한 管型反應器가 plug flow reactor (PFR)와 回分式 反應器의 中간 特性을 나타낸다고 發表하였다.

또 Jagadeesh 와 satyanarayara(11)는 motionless inline mixer를 管型反應器에 裝置하여 實驗한 결과 Hovorka 等의 결과와 같은 결과를 얻었다.

本研究는 1960年代 후반에 美國에서 개발된 static mixer^{1, 2, 9, 12)}를 管型反應器內에 裝置할 때 管型反應器의 效率에 어떠한 영향을 미치는가를 연구하였다.

管型反應器內의 static mixer의 效果를 고찰하기 위해서 壓力降下, 轉化率, 滯留時間 分布로부터 反應器 模型을 염어서 轉化率을豫測하고 反應實驗結果와 比較하였다.

實驗 方法 및 裝置

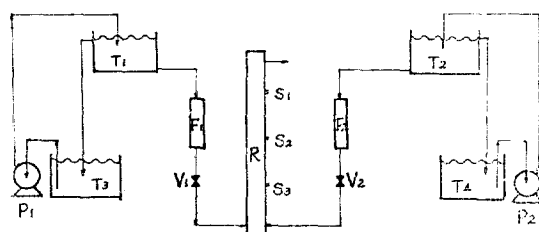
1. 實驗 裝置

本 實驗 裝置에 대한 schematic flow diagram 을 Fig. 1에 圖示하였다.

反應系의 장치들은 세 部分으로 나눌 수 있는데 이들은 反應器, static mixer, 그외 補助裝置들이다.

反應器는 Fig. 2에 나타난 바와 같이 내경 25 mm, 길이 1000mm인 것과 내경 13.5mm, 길이 450mm의 두 가지 glass tube를 使用하였다.

Static mixer는 Fig. 3의 Kenics mixer와 Fig. 4의 low pressure drop (LPD) mixer의 두 종류를 使用하였다. Kenics mixer는 두께 0.7mm, 길이 50mm, 폭 24mm의 stainless steel 板을 오른쪽과 左側으로 135°씩 고이게 만들어 교대로 수직이 되게 反應器內에 裝置하고, LPD mixer는 두께 1.5mm인 acryl 수지 board으로 만들어 구리판에 epoxy 수지로 부착하였다.



T_1, T_2 : Constant head tanks T_3, T_4 : Feed tanks

F_1, F_2 : Flow meters P_1, P_2 : Pumps R : Reactor

Fig. 1. Schematic flow diagram for the experimental set up.

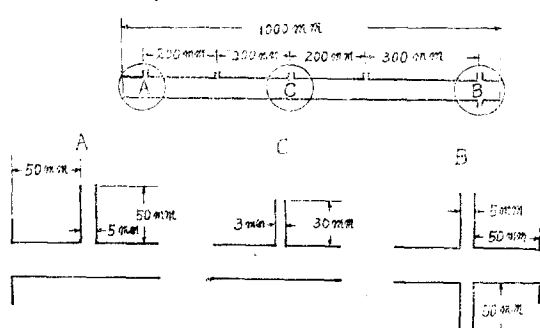


Fig. 2. Reactor geometry.

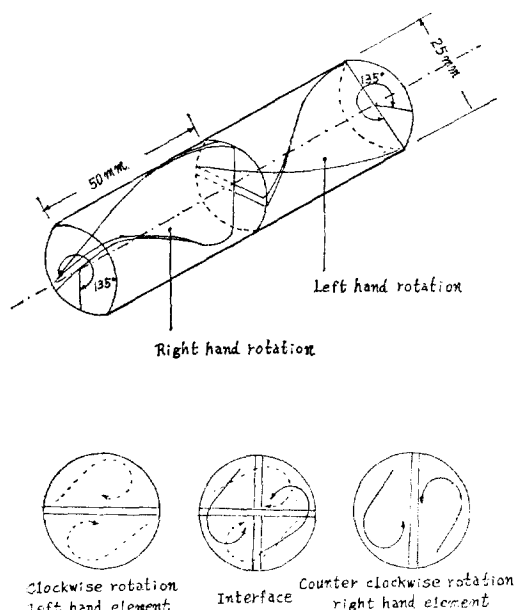


Fig. 3. Geometry and schematic flow patterns around Kenics mixers.

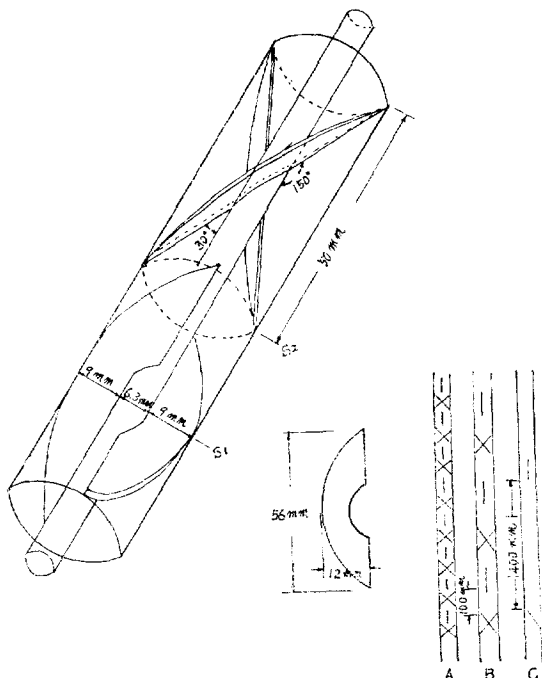


Fig. 4. Geometry of LPD mixer.

그의 補助裝置로써 feed tank, flow meter, constant head tank, needle valve 等을 使用하였다. Flow meter는 流量이 300ml/min 보다 적은部分은 rotameter를 사용하고, 流量이 그以上되는部分은 U-tube manometer를 使用하여 測定했다.

2. 實驗方法

Static mixer를 管型反応器内에 插入할때 壓力降低가 얼마나 되는지를 測定하기 위해 U-tube manometer에 亜塩化탄소 (CCl_4)를 넣어서 使用하였다. 壓力降低의 測定 거리는 Fig. 1의 反應器 S_1 과 S_3 사이 40cm이며 사이에는 mixing element가 8개씩 들어있다. 流量은 1,800ml/min 까지 변화시키면서 壓力降低를 측정하였다.

滯留時間分布를 구하기 위하여 가성소오다를 tracer로 使用하여 negative step input에 대한 output response를 測定했다. tracer인 가성소오다의 농도는 試料를 일정한 時間마다 채취하여 염산용액으로 滴定하였다.

轉化率에 미치는 영향을 알기위해 $NaOH$ 와 $COOC_2H_5$ 의 非可逆 2次反應인 비누화 反應을 使用하였다. 反應物의 濃度는 0.1N와 0.4N의濃度를 使用했고 反應溫度는 21°C와 27°C이었다.

試料를 채취하여 轉化率을 측정할때 試料採取 도중의 反應을 靜止시키기 위해 過量의 염산을 넣어서 試料中の 未反應 가성소오다를 中和시키고 다시 남은 過量의 염산을 가성소오다로 逆滴定하여 反應에 소비된 가성소오다의 量을 알아내어 轉化率을 구하였다.

結果 및 考察

1. 壓力降低

Static mixer를 管型反応器에 插入하여 40cm 거리에서 測定된 壓力降低로부터 마찰계수를 구하였다.

管속으로 流體가 흐를때 Reynolds number와

Fanning friction factor는 다음 (1)式과 (2)式으로 表示된다.

$$N_{Re} = \frac{D_e V \rho}{\mu} \quad (1)$$

$$f = \frac{\Delta P \rho D_e g_c}{2 L_t G^2} \quad (2)$$

여기서 D_e 는 equivalent diameter로 다음과 같이 주어진다.

Kenics mixer의 경우

$$D_e = \frac{\pi D^2 / 4 - \Delta xl}{\pi D + 2l} \quad (3)$$

LPD mixer의 경우

$$D_e = \frac{\pi (D^2 - D'^2) / 4 - \Delta xl}{\pi (D + D') + 2l} \quad (4)$$

(4)式에 사용되는 mixing element의 幅 Δx 는 mixing element가 일정한 幅으로 되어 있다고 가정하고 구하였다.

測定된 壓力降下와 마찰계수를 Reynolds number에 대하여 plot한 것은 Table. 1과 Fig. 5에 나와 있다.

이 결과에서 LPD mixer를 插入하게 되면 empty tube보다 마찰계수가 같은 Reynolds number에서 20~25배增加하는 것을 알수있고 Kenics mixer와 LPD mixer를 比較할때 Kenics mixer가 LPD mixer 보다 壓力降下가 훨씬 작게 나타났다. 이와같은 이유는 Kenics mixer가 mixing element의 曲率이 부드러운 반면, LPD mixer는 平板이므로 流體가 흐르는 方向과 30°角度를 이루고 있고 또 LPD mixer는 Kenics

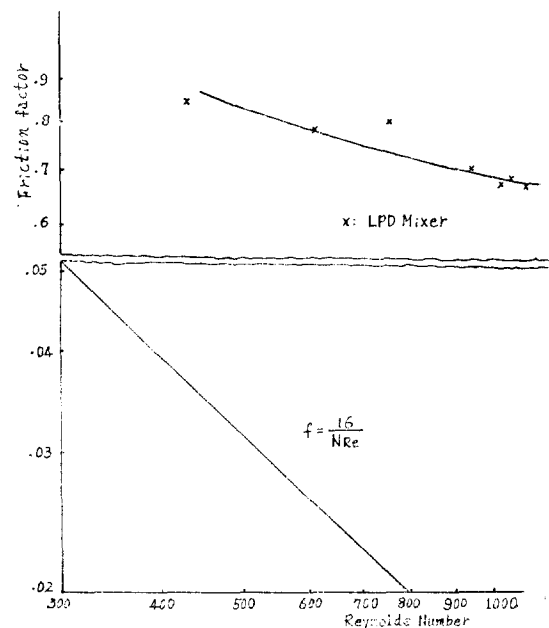


Fig. 5. Friction factor as a function of Reynolds number.

mixer와 달리 Fig. 1의 S_1 과 S_2 部分과 같이 反應器斷面積이 적은 部分과 큰 部分이 있기 때문이다.

따라서 壓力降下가 empty tube, Kenics mixer, LPD mixer順으로增加하므로 LPD mixer 보다 Kenics mixer를 使用하는 것이 좋다.

2. 滞留時間 分布

流量이 적은 Reynolds number 110근처에서의 Kenics mixer, LPD mixer, empty tube를 使用한 反應器의 채류시간 분포를比較한 것이 Fig. 6에 圖示되어 있다.

Fig. 6에서 보는 바와같이 Kenics mixer와 LPD mixer 사이에는 별 차이가 없으나 이 두과 empty tube와는 많은 차이가 난다.

앞의 壓力降下와 滞留時間 分布로부터 Kenics mixer가 LPD mixer보다 더 우수하다는 것이 나타난다.

또 流量을 210ml/min로 하고 Kenics mixer를

Table 1. Pressure drop and friction factor.

	Flow rate (ml/min)	Pressure drop (mm CCl ₄)	N_{Re}	f
LPD mixer	700	2	415	0.827
	1030	4	610	0.757
	1250	6	740	0.778
	1560	8	915	0.675
	1680	9	985	0.650
	1740	10	1030	0.658
	1800	10.5	1060	0.653
Kenics mixer	1800	1	940	0.07
Empty tube	1800	0		

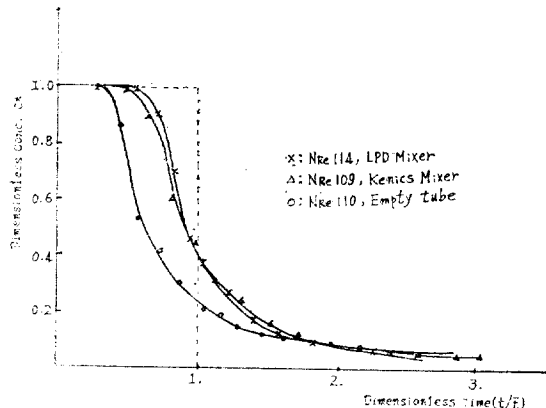
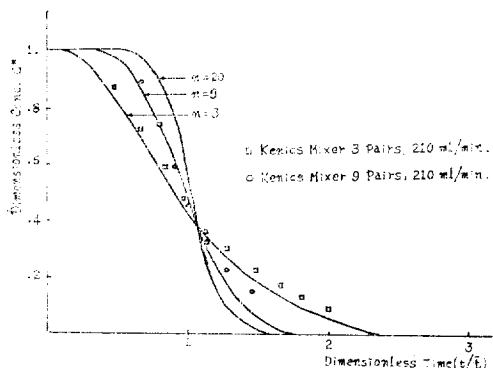


Fig. 6. Comparison of residence time distribution.

3 쌍(반응기 길이 30cm), 9 쌍(반응기 길이 90cm)을 각각 사용하여 얻은 潘留時間 分布 實驗值와 n -CSTR in series model의 理論值와 比較한 것이 Fig. 7이다. 여기서 使用된 理論式은 다음과 같다.

$$\frac{C}{C_0} = C^* = e^{-n\theta} \left[1 + n\theta + \frac{(n\theta)^2}{2!} + \dots + \frac{(n\theta)^{n-1}}{(n-1)!} \right] \quad (5)$$

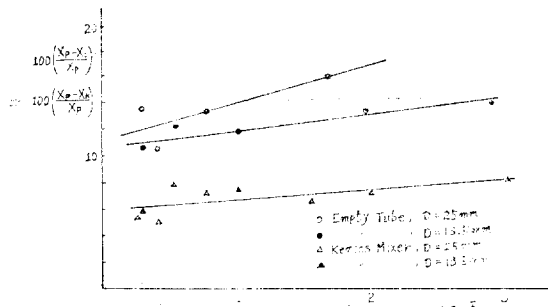
Fig. 7. Comparison of experimental RTD's with n CSTR in series model.

위의 결과에서 보면 18개의 mixing element 가 들어있는 反應器는 9 個의 回分式 反應器가 連結된 것으로 假定할 수 있다.

3. 反應

Empty tube 反應器와 static mixer를 插入한 反應器의 차이를 보기 위해 plug flow reactor를 기준으로 한 百分比 轉化率를 Fig. 8에 圖示하였다.

여기서 empty tube인 경우 反應器 直徑이 25 mm 일때 PFR로 부터 뱗어나는 程度가 約 13%

Fig. 8. Experimental deviation from the PFR conversion as function of $KC_{A0}\bar{t}_0$.

이고 直徑이 13.5mm 일때 約 11%로 平均 12% 程度가 되며, static mixer를 삽입한 反應器의 경우는 直徑에 관계없이 約 7% 程度로 PFR轉化率로 부터 뱗어나는 것을 볼수 있다. 따라서 empty tube 反應器보다 static mixer를 插入한 反應器가 PFR에 더 接近한다.

또 static mixer를 反應器에 插入했을 때 $kC_{A0}\bar{t}_i$ 와 百分比 轉化率을 圖示한 것이 Fig. 9에 나타나 있다. 여기서 9-CSTR in series model의 理論的 轉化率은 (6)式으로 계산한 것으로 實驗值와 잘 일치하는 것을 볼수 있다.

$$X_A = 1 - \frac{1}{2kC_{A0}\bar{t}_i} \left(-1 + \sqrt{-1 + 2\sqrt{1 + 4k}} \right) \quad (6)$$

여기서 $\bar{t}_i = \bar{t}/n$

Fig. 9로 부터 LPD mixer와 Kenics mixer에 있어서의 轉化率에 차이가 없다는 것을 알수 있다.

化率을 豫測할 수 있다.

사용기호

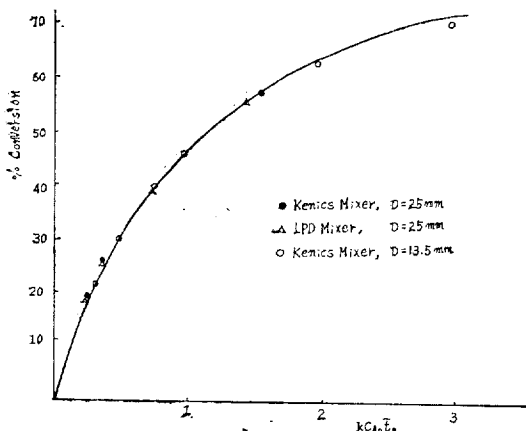


Fig. 9. Conversion as a function of $KC_{A_0}\bar{t}$.

그러므로 壓力下降, 滯留時間 分布, 反應 等의 實驗으로부터 Kenics mixer 가 LPD mixer 보다 유리한 것으로 나타난다.

結論

Static mixer 를 管型反應器 내에 插入할 때 壓力下降, 滯留時間 分布, 轉化率에 미치는 영향은 다음과 같다.

1. LPD mixer 는 마찰계수가 empty tube 에 비해 20~25배가 크다.
2. Empty tube 의 경우 反應器 直徑이 클수록 PFR 에서 많이 벗어 나지만 static mixer 를 插入하면 PFR 에서 벗어나는 程度가 反應器 直徑에 관계없이 일정하게 된다.
3. Static mixer 를 使用할 때 轉化率이 PFR 로부터 벗어나는 相對的 百分率은 反應器 直徑에 관계없이 7%, empty tube 인 경우는 平均 12%로 나타난다.
4. LPD mixer 가 Kenics mixer 에 비해 壓力下降이 크지만 轉化率에는 차이가 없다.
5. 本 實驗에서 18個의 mixing element 를 使用한 反應器는 9-CSTR in series model 로써 轉

- C* concentration, mole/min.
*C** dimensionless concentration, c/c_0
D diameter, cm
D' diameter of copper tube, cm
D_e equivalent diameter, cm
f friction factor, dimensionless
G mass velocity of fluid, gr/cm²-min
g_c gravitational conversion factor, dimensionless
k reaction rate constant, liter/mole-min
L_t distance between pressure tapping, cm
l width cm
n number of CSTR'S
Δp pressure drop, dyne/cm²
t time, sec
 \bar{t} mean residence time of fluid in a flow reactor, sec
V velocity, cm/sec
X fraction of reactant converted dimensionless
Δx thickness
 ρ density, gr/cm³
 θ dimensionless time, t/\bar{t}

Subscript

- θ* inlet condition
A reactant A
B reactant B
i i'th CSTR

참고문현

1. C. E. Grace, *Chem. Process Eng.*, 52 (1970), 57.
2. E. W. Pitera and S. Middleman, *Ind. Eng. Chem. Process Des. Develop.*, 12(1973),

- 52-53.
3. J. H. Perry, *Chemical Engineers' Handbook*, 4th ed., McGraw-Hill, New York, 1963, p. 5-15.
 4. J. M. Smith, *Chemical Engineering Kinetics*, McGraw-Hill, New York, 1956
 5. M. Abramowitz and I. A. Stegan, *Handbook of mathematical functions*, Dover Publication INC, New York, 1970, p. 299
 6. O. Levenspiel and K. B. Bischoff, *Ind. Eng. Chem.*, **52**(1959), 1431-1434.
 7. O. Levenspiel and K. B. Bischoff, *Ind. Eng. Chem.*, **53**(1961), 313-314.
 8. R. B. Hovorka and H. B. Kendall, *Chem. Eng. Prog.*, **56**(1960), 58-62.
 9. S. J. Chen and A. R. MacDonald, *Chem. Eng.*, March 19, 1973, 105-112.
 10. S. J. Chen, L. T. Fan and C. A. Watson, *Ind. Eng. Chem. Process Des. Develop.*, **12**(1973), 42-45.
 11. V. Jagadeesh and M. Satyanarayama, *Ind. Eng. Chem. Process Des. Develop.*, **11** (1972), 520-525.
 12. W. D. Morris and P. Misson, *Ind. Eng. Chem. Process Des. Develop.*, **13**(1974), 270-271.

